

有限回転を伴う充実空間曲線棒部材の 幾何学的非線形理論

Geometrically Nonlinear Theory of Naturally Curved and
Twisted Rods Undergoing Finite Rotations

* * *

井浦雅司 平嶋政治

By Masashi IURA and Masaharu HIRASHIMA

A new approach is introduced to develop a finite displacement theory of naturally curved and twisted rods with finite rotations. Particular attention is paid to investigate the coupling of finite rotations under the Bernoulli-Euler hypothesis. The significant advantages of the present approach are that the exact displacement field are obtained through pure mathematical manipulations, and that the exact twist and curvatures after the deformation are calculated with much less efforts. Moreover, the introduction of the new parameter clarifies the physical meaning of the resulting equations. The accuracy of the present equilibrium equations is confirmed through comparisons with the equilibrium equations obtained by the equilibrium method.

1. はじめに

構造物の基本的要素である一次元棒部材の幾何学的非線形理論は、これまで多くの研究者の注目を集めていた。特に、有限回転はベクトル則に従わないことから、有限な回転変位を伴う棒部材の力学的挙動を解明するために理論的研究および数値解析が盛んに行なわれている。本報告では、一次元棒理論の解析において従来用いられることが少なかった有限回転ベクトル θ を用いて、回転成分の連成を考慮した充実空間曲線棒部材の有限変位理論を展開する。

微小変位理論では、ひずみ場の仮定から出発して変位関数を求める方法が主流をなしており、有限変位問題においてもこの方法が広く用いられている。⁽¹⁾しかしながら、有限変位問題では上記の方法を厳密に適用すると、非線形の微分方程式を解かねばならなくなり、それを避けるために、軸線方向の変位成分に関する2次項を無視するという近似化が行なわれている。その結果、得られた基礎式の適用範囲が限定されたり、また回転成分の連成が無視されるなど多くの問題点が指摘されている。^{(2)~(4)}

回転成分の連成が問題となるのは棒部材が3次元的な挙動を示す場合であり、2次元すなわち平面骨組部材の場合には、回転に関する自由度が1であり連成問題は生じることなく、有限回転の取扱いは比較的容易である。西野・倉方・後藤^{(5), (6)}はBernoulli-Eulerの仮定のみを用いて、平面棒部材の有限変位理論を展開しており、微小ひずみの仮定は変位場の変分量の計算をした後に用いるべきであると指摘している。

* 工博 東京電機大学 建設工学科 (350 埼玉県比企郡鳩山町石坂)

** 工博 早稲田大学 土木工学科 (160 東京都新宿区大久保 3-4-1)

一方、3次元的挙動を示す棒部材においては、3軸回りの回転成分が連成することになり、様々な手法により有限変位理論が展開されている。前田・林⁵⁾は回転行列を用いて、新たなパラメーターを導入し、断面剛の仮定を厳密に満たす変位関数を求めており、従来の棒理論と同様に、変形の記述を4個のパラメーターで行なう段階で微小回転の仮定が用いられ、また近似された変位関数においても、既往の研究と一部異なっているなどの問題を含んでいる。Besseling, Rosen, Friedmann^{6), 8), 9)}はEuler角を用いて有限回転角を評価しているが、文献(5)と同様に、パラメーターの数を4個に低減する段階で微小回転の仮定が導入されているため、得られた基礎式の適用範囲が限定されてしまう。Schroeder, 平嶋・井浦・依田, 事口・久保・中井^{10), 11), 12)}は、回転行列と等価な有限回転ベクトルを用いて、全変位を平面保持則に従う変位、部材軸回りのねじれによる変位、反りに伴う変位に分けており、これらの研究の中では、文献(11)がより精確な変位関数を誘導していると考えられるが、高次項を含めた時に断面剛の仮定が満たされないという問題が残されている。島田, Panayotounakos-Theocaris^{13), 14)}は、幾何学的考察により充実断面空間曲線棒の有限変位理論を展開しているが、ねじれモーメントにおいて変形によるねじれ率の2次項が考慮されておらず、非線形項の扱いに統一性が欠けている。以上の研究とは異なった手法により、3軸回りの有限回転を評価している研究として、倉方・西野, 阿井・西野, 倉方^{15), 16), 17)}の報告がある。これらの研究では、変位パラメーターの設定には自由度があり、必ずしも軸線の変位成分をパラメーターにとる必要はないこと、また回転成分に関しては、微小変位理論と同等の意味を有する回転パラメーターは有限変位理論では存在しないことが示されている。最近では、後藤・松浦・長谷川, 林・前田らも別の手法により有限回転を伴う一次元棒理論を展開している。以上の研究はいずれもBernoulli-Eulerの仮定に基づいており、せん断変形は考慮されていない。Stein¹⁹⁾は有限回転ベクトルを用いて、一次元部材の一般論を展開し、回転ベクトルの成分と部材軸の変位成分との関係が示されているが、独立パラメータによる回転ベクトル成分の陽な表現式は得られていない。

有限回転が問題となるのは棒部材に限定されるわけではなく、板・殻部材においても、Simmonds-Danielson, Pietraszkiewicz, Iura-Hirashima^{20), 21), 22)}らにより、有限回転ベクトル Ω を用いて有限変位理論が展開されている。また、Pietraszkiewicz-Badur²³⁾は回転行列と3種類の有限回転ベクトルを用いて連続体の非線形問題を論じている。

本報告では、全回転量を ω とする時に、 $2\tan(\omega/2)$ の大きさを有する有限回転ベクトル θ を用いることにより、部材軸の変位成分の他に、有限回転ベクトル θ の部材軸方向の成分を新たに独立パラメーターに選び、従来の棒理論と同様に4個のパラメーターで棒部材の変形を記述している。一次元棒部材の一般論を述べるとかなり複雑となり、また部材軸上の回転成分に注目するため、ここでは反り変形が無視できる断面を有する棒部材を対象としている。まず本報告で用いる基本的な仮定を述べる。

- (1) 部材断面は部材軸に沿って一定である。
- (2) 無荷重状態の部材軸は、任意の初期ねじれ率と初期曲率を有する滑らかな空間曲線である。
- (3) 変位前に部材軸に垂直な平面は、変位後の部材軸に対しても垂直で平面のままである。

ここに、仮定(3)はBernoulli-Eulerの仮定である。

2章から5章までは仮定(1)～(3)のみを用いて、微小ひずみの仮定を用いることなく、棒部材の変位関数および変位後の棒軸線のねじれ率と曲率を計算し、無理数で表示される結果を求めており、6章では、微小ひずみの仮定のみを導入し、平衡方程式および境界条件式を求めており、幾何学的な考察から得られる結果と一致することを7章で確かめている。なお、本報告では添字については Einsteinの総和規約を用いており、特に断わらない限り、ラテン文字は1, 2, 3をとるものとする。

2. 変位前の幾何量

まず本報告で用いる座標系およびその基底ベクトルについて説明する。任意点を原点にとり空間固定直線

直交座標系 X^i を定め、その基底ベクトルを i_i とする。次に部材軸と横断面との交点 S を原点とし、部材軸方向に ξ^1 座標を、さらに横断面における主軸の方向に ξ^2 、 ξ^3 座標をとり、その基底ベクトルを e_i とする。また、部材の横断面内における任意の点 P において、その基底ベクトルが e_i と一致するように局所座標系 z^i を導入し、その基底ベクトルを b_i とおく。なお、座標系は全て右手系とし、その方向等は Fig. 1 に示す。

部材軸上の点 S の位置ベクトルを

$$\mathbf{x} = \mathbf{x} (\xi^1) = x^m i_m \dots \quad (1)$$

とおくと、基底ベクトル e_1 は

$$e_1 = \mathbf{x} (\xi^1),_1 \dots \quad (2)$$

と求まり、ここに $(\cdot),_1$ は ξ^1 に関する微分を示す。

ξ^i 座標系の基底ベクトル e_i について、Frenet-

Serret の公式より以下の関係が成立する。

$$\begin{bmatrix} e_1 \\ e_2 \\ e_3 \end{bmatrix},_1 = \begin{bmatrix} 0 & \kappa_3 - \kappa_2 \\ -\kappa_3 & 0 & \kappa_1 \\ \kappa_2 - \kappa_1 & 0 & 0 \end{bmatrix} \begin{bmatrix} e_1 \\ e_2 \\ e_3 \end{bmatrix} \dots \quad (3)$$

ここに、 κ_1 は初期ねじれ率、 κ_2 ・ κ_3 は初期曲率であり、いずれも一般に ξ^1 の関数となる。

横断面内における点 P の位置ベクトルは

$$\mathbf{r} = \mathbf{x} + \xi^2 e_2 + \xi^3 e_3 \dots \quad (4)$$

と表わされ、これより点 P における基底ベクトル a_i は

$$a_1 = \sqrt{g} e_1 - \kappa_1 \xi^3 e_2 + \kappa_1 \xi^2 e_3, \quad a_2 = e_2, \quad a_3 = e_3 \dots \quad (5)$$

と求まり、ここに

$$\sqrt{g} = 1 + \kappa_2 \xi^3 - \kappa_3 \xi^2 \dots \quad (6)$$

である。

3. 有限回転ベクトル

Pitraszkiewicz [21] によれば、既往の研究で用いられている有限回転ベクトルには、次式で定義される 3 種類の回転ベクトルがある。

$$\omega = \omega \phi, \quad \Omega = \sin \omega \phi, \quad \theta = 2 \tan \omega / 2 \phi \dots \quad (7.a-c)$$

ここに、 ϕ は回転方向の単位ベクトル、 ω はその回転軸回りの全回転量である。文献(5)では、回転行列を用いて有限回転を評価しているが、その結果は式(7.a)で定義される ω を用いて誘導できる。また、式(7.b)で定義される Ω は殻理論で広く利用されている。一方、式(7.c)で定義される θ は、これまで多く用いられておらず、その有効性については詳しく論じられていない。そこで、本報告では有限回転ベクトル θ を用いて、有限回転角の影響を精確に評価しようとするものである。なお、式(7.c)からわかるように、全回転量 ω の適用範囲は次式の通りである。

$$-\pi < \omega < \pi \dots \quad (8)$$

仮定(3)より、変位後の ξ^i 座標系の単位基底ベクトル \bar{e}_i は直交していることから、単位基底ベクトル e_i と \bar{e}_i との関係は θ を用いて

$$\bar{e}_i = e_i + \frac{1}{2}(1 + \cos \omega) \theta \times e_i + \frac{1}{4}(1 + \cos \omega) \theta \times (\theta \times e_i) \dots \quad (9)$$

と表わされる。ここで、 θ を成分表示して

$$\theta = \theta^1 e_1 \dots \quad (10)$$

とおくと、式(9)より \bar{e}_i は以下のように表わされる。

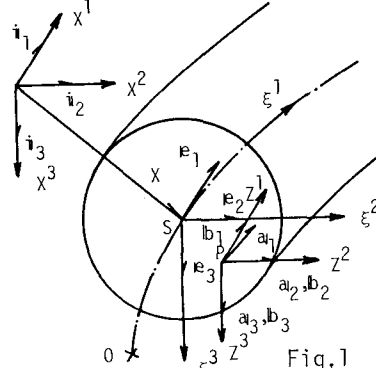


Fig. 1

$$\bar{e}_1 = \left(1 - \frac{1}{4}(1 + \cos\omega)\right) \left\{ (\theta^2)^2 + (\theta^3)^2 \right\} e_1 + \frac{1}{2}(1 + \cos\omega) (\theta^3 + \frac{1}{2}\theta^1\theta^2) e_2 \\ + \frac{1}{2}(1 + \cos\omega) (-\theta^2 + \frac{1}{2}\theta^1\theta^3) e_3 \quad \dots \dots \dots \dots \dots \dots \quad (11.a)$$

$$\bar{e}_2 = \left(1 - \frac{1}{4}(1 + \cos\omega)\right) \left\{ (\theta^3)^2 + (\theta^1)^2 \right\} e_2 + \frac{1}{2}(1 + \cos\omega) (\theta^1 + \frac{1}{2}\theta^2\theta^3) e_3 \\ + \frac{1}{2}(1 + \cos\omega) (-\theta^3 + \frac{1}{2}\theta^2\theta^1) e_1 \quad \dots \dots \dots \dots \dots \dots \quad (11.b)$$

$$\bar{e}_3 = \left(1 - \frac{1}{4}(1 + \cos\omega)\right) \left\{ (\theta^1)^2 + (\theta^2)^2 \right\} e_3 + \frac{1}{2}(1 + \cos\omega) (\theta^2 + \frac{1}{2}\theta^3\theta^1) e_1 \\ + \frac{1}{2}(1 + \cos\omega) (-\theta^1 + \frac{1}{2}\theta^2\theta^3) e_2 \quad \dots \dots \dots \dots \dots \dots \quad (11.c)$$

なお、 θ^i と ω の間には、式(7.c), (10)より以下の関係式が成立する。

$$(\theta^1)^2 + (\theta^2)^2 + (\theta^3)^2 = 4(1 - \cos\omega) / (1 + \cos\omega) \quad \dots \dots \dots \dots \dots \dots \quad (12)$$

式(11)で求まつた \bar{e}_i を用いると、仮定(3)より、任意点 P の変位ベクトル U は、部材軸の変位ベクトルを u とすれば

$$U = u + \xi^2(\bar{e}_2 - e_2) + \xi^3(\bar{e}_3 - e_3) \quad \dots \dots \dots \dots \dots \dots \quad (13)$$

と求まる。ベクトル U, u を成分表示して

$$U = U^i e_i, \quad u = u^i e_i \quad \dots \dots \dots \dots \dots \dots \quad (14.a, b)$$

とおくと、各成分 U^i は以下のように求まる。

$$U^1 = u^1 + \frac{1}{2}\xi^2(1 + \cos\omega)(-\theta^3 + \frac{1}{2}\theta^1\theta^2) + \frac{1}{2}\xi^3(1 + \cos\omega)(\theta^2 + \frac{1}{2}\theta^3\theta^1) \quad \dots \quad (15.a)$$

$$U^2 = u^2 - \frac{1}{4}\xi^2(1 + \cos\omega)\{(\theta^3)^2 + (\theta^1)^2\} + \frac{1}{2}\xi^3(1 + \cos\omega)(-\theta^1 + \frac{1}{2}\theta^2\theta^3) \quad \dots \quad (15.b)$$

$$U^3 = u^3 + \frac{1}{2}\xi^2(1 + \cos\omega)(\theta^1 + \frac{1}{2}\theta^2\theta^3) - \frac{1}{4}\xi^3(1 + \cos\omega)\{(\theta^1)^2 + (\theta^2)^2\} \quad \dots \quad (15.c)$$

4. 変位後の幾何量

変位後の単位基底ベクトル \bar{e}_1 は、式(11.a)とは別に

$$\bar{e}_1 = (x + u)_1 / |(x + u)|_1 \quad \dots \dots \dots \dots \dots \dots \quad (16)$$

と表わすこともできる。これを成分表示すると、

$$\bar{e}_1 = \{(1 + u^1|_1)e_1 + u^2|_1 e_2 + u^3|_1 e_3\} / \sqrt{G_0} \quad \dots \dots \dots \dots \dots \dots \quad (17)$$

となり、ここに $(\cdot)|_1$ は共変微分を示す、

$$u^1|_1 = u^1_{,1} - \kappa_3 u^2 + \kappa_2 u^3, \quad u^2|_1 = u^2_{,1} + \kappa_3 u^1 - \kappa_1 u^3 \quad \dots \dots \dots \quad (18.a, b)$$

$$u^3|_1 = u^3_{,1} - \kappa_2 u^1 + \kappa_1 u^2, \quad G_0 = (1 + u^1|_1)^2 + (u^2|_1)^2 + (u^3|_1)^2 \quad \dots \quad (18.c, d)$$

である。式(11.a), (17)より、変位成分 u^i と回転成分 θ^i の間に次の関係式が得られる。

$$1 - \frac{1}{4}(1 + \cos\omega)\{(\theta^2)^2 + (\theta^3)^2\} = u^1|_1 \quad \dots \dots \dots \dots \dots \dots \quad (19.a)$$

$$\frac{1}{2}(1 + \cos\omega)(\theta^3 + \frac{1}{2}\theta^1\theta^2) = u^2|_1 \quad \dots \dots \dots \dots \dots \dots \quad (19.b)$$

$$\frac{1}{2}(1 + \cos\omega)(-\theta^2 + \frac{1}{2}\theta^3\theta^1) = u^3|_1 \quad \dots \dots \dots \dots \dots \dots \quad (19.b)$$

ここに、

$$u^1|_1 = (1 + u^1|_1) / \sqrt{G_0}, \quad u^2|_1 = u^2|_1 / \sqrt{G_0}, \quad u^3|_1 = u^3|_1 / \sqrt{G_0} \quad \dots \dots \dots \quad (20.a-c)$$

である。

式(19)は、3 個の未知数 θ^i に対して、方程式の数が 3 本であることから、 θ^i が変位成分 u^i により表わせるようと思われる。しかしながら、式(12), (18.d)を用いると、式(19)はお互いに独立ではなく、2 本の式から残りの 1 本の式が導かれることが容易にわかる。すなわち、独立な式は 2 本であり、 θ^i を u^i により表わすには未知数が 1 つ多いことがわかる。単に、 θ^i を u^i により表わすためには、 θ^i の中から任意に 1 つを独立パラメーターにとればよいわけである。しかしながら、従来の権理論とのつながりを考えた時に、断面の回転を表わす e_1 軸回りの回転成分 θ^1 を新たなパラメーターに採用することが自然と思われる。そこで本報告では、変位パラメーターとして、 u^i の他に次式で定義されるパラメーター ϑ を導入する。

$$\theta^1 = 2 \tan \vartheta / 2 = 2 \sin \vartheta / (1 + \cos \vartheta), \quad (-\pi < \vartheta < \pi) \quad \dots \dots \dots \dots \dots \dots \quad (21)$$

ここで、回転角に対する許容範囲に注目すると、本報告の適用範囲は文献(6) の2倍となっており、より大きな回転変位を扱うことが可能である。

式(12), (19.a), (21)より、 $\cos \omega$ は u_i, ϑ を用いて以下のように表わせる。

$$\cos \omega = -1 + \frac{1}{2}(1 + \cos \vartheta) \quad (1 + u^i_{||}) \quad \dots \dots \dots \dots \dots \dots \dots \quad (22)$$

式(22)を式(19.b,c)に代入し、式(12)を用いると、残りの回転成分である θ^2, θ^3 が u^i, ϑ により以下のように表わされる。

$$\theta^2 = \lambda \{ u^2_{||} \sin \vartheta / (1 + \cos \vartheta) - u^3_{||} \}, \quad \theta^3 = \lambda \{ u^2_{||} + u^3_{||} \sin \vartheta / (1 + \cos \vartheta) \} \quad (23.a,b)$$

ここに、

$$\lambda = 2 / (1 + u^i_{||}) \quad \dots \dots \dots \dots \dots \dots \dots \quad (24)$$

である。以上で、全回転角 ω 、回転成分 θ^2, θ^3 が変位パラメータ u^i, ϑ により表わされ、これらを式(15)に代入すると変位関数 U^i は

$$U^1 = u^1 - \xi^2 (u^2_{||} \cos \vartheta + u^3_{||} \sin \vartheta) + \xi^3 (u^2_{||} \sin \vartheta - u^3_{||} \cos \vartheta) \quad \dots \dots \dots \dots \quad (25.a)$$

$$U^2 = u^2 - \xi^2 [(1 - \cos \vartheta) / \lambda + \lambda \{ (u^2_{||})^2 (1 + \cos \vartheta) / 4 + \frac{1}{2} u^2_{||} u^3_{||} \sin \vartheta \\ + (u^3_{||})^2 (1 - \cos \vartheta) / 4 \}] + \xi^3 [-\frac{1}{\lambda} \sin \vartheta + \lambda \{ \frac{1}{4} (u^2_{||})^2 \sin \vartheta \\ - \frac{1}{2} u^2_{||} u^3_{||} \cos \vartheta - \frac{1}{4} (u^3_{||})^2 \sin \vartheta \}] \quad \dots \dots \dots \dots \dots \dots \quad (25.b)$$

$$U^3 = u^3 + \xi \{ \frac{1}{\lambda} \sin \vartheta + \lambda \{ \frac{1}{4} (u^2_{||})^2 \sin \vartheta - \frac{1}{2} u^2_{||} u^3_{||} \cos \vartheta - \frac{1}{4} (u^3_{||})^2 \sin \vartheta \} \} \\ - \xi^3 [(1 - \cos \vartheta) / \lambda + \lambda \{ (u^2_{||})^2 (1 - \cos \vartheta) / 4 - \frac{1}{2} u^2_{||} u^3_{||} \sin \vartheta \\ + (u^3_{||})^2 (1 + \cos \vartheta) / 4 \}] \quad \dots \dots \dots \dots \dots \dots \quad (25.c)$$

と求まる。付言するならば、式(25)で求まった変位関数 U^i は、非線形の式で表わされるひずみ-変位の関係式に代入すると、断面剛の仮定を完全に満足していることがわかる。さらに、式(11.b,c), (23) より、

$$\cos \vartheta = (\bar{e}_2 \cdot e_2 + \bar{e}_3 \cdot e_3) \lambda / 2 \quad \dots \dots \dots \dots \dots \dots \quad (26)$$

なる関係式が得られ、これより新しく導入されたパラメーター ϑ の物理的意味が明らかとなる。

次に、以下の式で定義される変位後のねじれ率 $\bar{\kappa}_1$ と曲率 $\bar{\kappa}_2, \bar{\kappa}_3$ を求める。

$$\bar{\kappa}_1 = \bar{e}_{2,1} \cdot \bar{e}_3, \quad \bar{\kappa}_2 = \bar{e}_{3,1} \cdot \bar{e}_1, \quad \bar{\kappa}_3 = \bar{e}_{1,1} \cdot \bar{e}_2 \quad \dots \dots \dots \dots \dots \quad (27.a-c)$$

式(11)を用いて ω, θ^i で $\bar{\kappa}_i$ を表わすと、

$$\bar{\kappa}_1 = (1 + \cos \omega) \theta^1_{,1} / 2 + (1 + \cos \omega) \theta^3 \theta^2_{,1} / 4 - (1 + \cos \omega) \theta^2 \theta^3_{,1} / 4 \quad (28.a)$$

$$\bar{\kappa}_2 = (1 + \cos \omega) \theta^2_{,1} / 2 + (1 + \cos \omega) \theta^1 \theta^3_{,1} / 4 - (1 + \cos \omega) \theta^3 \theta^1_{,1} / 4 \quad (28.b)$$

$$\bar{\kappa}_3 = (1 + \cos \omega) \theta^3_{,1} / 2 + (1 + \cos \omega) \theta^2 \theta^1_{,1} / 4 - (1 + \cos \omega) \theta^1 \theta^2_{,1} / 4 \quad (28.c)$$

となる。式(21)～(23)を用いて、変位パラメーターにより $\bar{\kappa}_i$ を表わすと以下の式を得る。

$$\bar{\kappa}_1 = [1 / \lambda + \{ (u^2_{||})^2 + (u^3_{||})^2 \} \lambda / 4] \vartheta_{,1} + \{ (u^2_{||})_{,1} u^3_{||} - (u^3_{||})_{,1} u^2_{||} \} \lambda / 2 \\ + \kappa_1 u^i_{||} + \kappa_2 u^2_{||} + \kappa_3 u^3_{||} \quad \dots \dots \dots \dots \dots \quad (29.a)$$

$$\bar{\kappa}_2 = - (u^2_{||} \sin \vartheta - u^3_{||} \cos \vartheta) (u^i_{||})_{,1} \lambda / 2 + (u^2_{||})_{,1} \sin \vartheta - (u^3_{||})_{,1} \cos \vartheta \\ - \kappa_1 (u^2_{||} \cos \vartheta + u^3_{||} \sin \vartheta) + \kappa_2 [1 + (\cos \vartheta - 1) / \lambda - \lambda \{ (u^2_{||})^2 (1 + \cos \vartheta) / 4 \\ + \frac{1}{2} u^2_{||} u^3_{||} \sin \vartheta + (u^3_{||})^2 (1 - \cos \vartheta) / 4 \}] + \kappa_3 [(\sin \vartheta) / \lambda + \lambda \{ \frac{1}{4} (u^2_{||})^2 \sin \vartheta \\ - \frac{1}{2} u^2_{||} u^3_{||} \cos \vartheta - \frac{1}{4} (u^3_{||})^2 \sin \vartheta \}] \quad \dots \dots \dots \dots \dots \quad (29.b)$$

$$\bar{\kappa}_3 = - (u^2_{||} \cos \vartheta + u^3_{||} \sin \vartheta) (u^i_{||})_{,1} \lambda / 2 + (u^2_{||})_{,1} \cos \vartheta + (u^3_{||})_{,1} \sin \vartheta \\ + \kappa_1 (u^2_{||} \sin \vartheta - u^3_{||} \cos \vartheta) + \kappa_2 [(-\sin \vartheta) / \lambda + \lambda \{ \frac{1}{4} (u^2_{||})^2 \sin \vartheta \\ - \frac{1}{2} u^2_{||} u^3_{||} \cos \vartheta - \frac{1}{4} (u^3_{||})^2 \sin \vartheta \}] + \kappa_3 [1 + (\cos \vartheta - 1) / \lambda \\ - \lambda \{ (u^2_{||})^2 (1 - \cos \vartheta) / 4 - \frac{1}{2} u^2_{||} u^3_{||} \sin \vartheta + (u^3_{||})^2 (1 + \cos \vartheta) / 4 \}] \quad (29.c)$$

ここで、文献(6)では $\bar{\kappa}_i$ の計算において変位成分の4次以上の項を無視しているのに対し、式(29)では変位成分について何の制限も設けていないことに注意を要する。

5. 内力と外力による仮想仕事

ξ^i 座標系におけるGreen のひずみテンソルを e_{ij} とおくと、基底ベクトルを用いて

$$e_{ij} = (\bar{a}_i \cdot \bar{a}_j - a_i \cdot a_j) / 2 \quad \dots \dots \dots \dots \dots \dots \dots \quad (30)$$

と定義される。ここに、

$$\bar{a}_1 = (\sqrt{G_0 - \kappa_3 \xi^2 + \kappa_2 \xi^3}) \bar{e}_1 - \kappa_1 \xi^3 \bar{e}_2 + \kappa_1 \xi^2 \bar{e}_3, \quad \bar{a}_2 = \bar{e}_2, \quad \bar{a}_3 = \bar{e}_3 \quad \dots \dots \dots \dots \dots \dots \dots \quad (31.a-c)$$

と求まるところから、 e_{ij} は以下のように表わされる。

$$e_{11} = (\varepsilon_0 - \kappa_3^* \xi^2 + \kappa_2^* \xi^3) \{ \sqrt{g} + (\varepsilon_0 - \kappa_3^* \xi^2 + \kappa_2^* \xi^3) / 2 \} + \rho^2 \kappa_1^* (\kappa_1^* + 2 \kappa_1) / 2 \quad \dots \dots \dots \dots \dots \dots \dots \quad (32.a)$$

$$e_{12} = e_{21} = -\kappa_1^* \xi^3 / 2, \quad e_{13} = e_{31} = \kappa_1^* \xi^2 / 2, \quad e_{22} = e_{23} = e_{32} = e_{33} = 0 \quad \dots \dots \dots \dots \dots \dots \dots \quad (32.b-d)$$

ここに、

$$\varepsilon_0 = \sqrt{G_0} - 1, \quad \kappa_1^* = \bar{\kappa}_1 - \kappa_1, \quad \rho^2 = (\xi^2)^2 + (\xi^3)^2 \quad \dots \dots \dots \dots \dots \dots \dots \quad (33.a-c)$$

である。 ξ^i 座標系における第2種のPiola-Kirchhoff 応力テンソルを τ^{ij} とおくと、内力による仮想仕事は

$$1/VW = \int_V (\tau^{11} \delta e_{11} + 2 \tau^{12} \delta e_{12} + 2 \tau^{13} \delta e_{13}) dV \quad \dots \dots \dots \dots \dots \dots \dots \quad (34)$$

となり、ここに

$$dV = \sqrt{g} d\xi^1 d\xi^2 d\xi^3 \quad \dots \dots \dots \dots \dots \dots \dots \quad (35)$$

である。

式(5)からわかるように、任意点Pにおける基底ベクトルは直交していないために、構成方程式の表現が複雑となる。そこで、文献(11)と同様に、 ξ^i 座標系の量を Z^i 座標系の量に変換する。まず、 Z^i 座標系におけるひずみテンソルを ε_{ij} とおけば、 e_{ij} との間に以下の関係が成立する。

$$\varepsilon_{ij} = \frac{\partial \xi^m}{\partial Z^i} \frac{\partial \xi^n}{\partial Z^j} e_{mn} \quad \dots \dots \dots \dots \dots \dots \dots \quad (36)$$

ここに、

$$\frac{\partial \xi^1}{\partial Z^1} = \frac{1}{\sqrt{g}}, \quad \frac{\partial \xi^2}{\partial Z^1} = \frac{\kappa_1 \xi^3}{\sqrt{g}}, \quad \frac{\partial \xi^3}{\partial Z^1} = -\frac{\kappa_1 \xi^2}{\sqrt{g}}, \quad \frac{\partial \xi^2}{\partial Z^2} = 1, \quad \frac{\partial \xi^3}{\partial Z^2} = 1 \quad \dots \dots \dots \dots \dots \dots \dots \quad (37.a-e)$$

$$\frac{\partial \xi^1}{\partial Z^2} = \frac{\partial \xi^3}{\partial Z^2} = \frac{\partial \xi^1}{\partial Z^3} = \frac{\partial \xi^2}{\partial Z^3} = 0 \quad \dots \dots \dots \dots \dots \dots \dots \quad (37.f)$$

である。式(32)、(36)より ε_{ij} は以下のように求まる。

$$\varepsilon_{11} = (\varepsilon_0 - \kappa_3^* \xi^2 + \kappa_2^* \xi^3) \{ 1 / \sqrt{g} + (\varepsilon_0 - \kappa_3^* \xi^2 + \kappa_2^* \xi^3) / (2 g) \} + \rho^2 \times (\kappa_1^*)^2 / (2 g)$$

$$\varepsilon_{12} = \varepsilon_{21} = -\kappa_1^* \xi^3 / 2\sqrt{g}, \quad \varepsilon_{13} = \varepsilon_{31} = \kappa_1^* \xi^2 / 2\sqrt{g}, \quad \varepsilon_{22} = \varepsilon_{23} = \varepsilon_{32} = \varepsilon_{33} = 0 \quad \dots \dots \dots \dots \dots \dots \dots \quad (38.a-d)$$

次に、 ξ^i 座標系における応力テンソルを σ^{ij} とおくと、その物理成分 $\tilde{\sigma}^{ij}$ との間に以下の関係式が成立する。

$$\tilde{\sigma}^{ij} = \sigma^{ij} \sqrt{b_{ii}} \sqrt{b_{jj}} \quad (i, j \text{ not summed}) \quad \dots \dots \dots \dots \dots \dots \dots \quad (39)$$

ここに、

$$b_{ij} = b_i + b_j, \quad \bar{b}_{ij} = \bar{b}_i + \bar{b}_j, \quad b_i = e_i, \quad \bar{b}_2 = \bar{e}_2, \quad \bar{b}_3 = \bar{e}_3, \quad ,$$

$$\bar{b}_1 = (\sqrt{g} + \varepsilon_0 - \kappa_3^* \xi^2 + \kappa_2^* \xi^3) \bar{e}_1 / \sqrt{g} \quad \dots \dots \dots \dots \dots \dots \dots \quad (40.a-f)$$

である。また、 σ^{ij} と τ^{ij} との間には

$$\sigma^{ij} = \frac{\partial Z^i}{\partial \xi^m} \frac{\partial Z^j}{\partial \xi^n} \tau^{mn} \quad \dots \dots \dots \dots \dots \dots \dots \quad (41)$$

なる関係が成立することから、内力による仮想仕事は次式のように書き直せる。

$$IVW = \int_V \left[\frac{\widehat{\sigma}^{11}}{\sqrt{g}} \left\{ \delta \varepsilon_0 - \xi^2 \delta \kappa_3^* + \xi^3 \delta \kappa_2^* + \frac{\rho^2 \kappa_1^* \delta \kappa_1^*}{\sqrt{g} + \varepsilon_0 - \kappa_3^* \xi^2 + \kappa_2^* \xi^3} \right\} + \frac{(-\widehat{\sigma}^{12} \xi^3 + \widehat{\sigma}^{13} \xi^2) \delta \kappa_1^*}{\sqrt{g}} \right] dV \quad (42)$$

分布外力ベクトルを \mathbf{P} 、部材端外力ベクトルを $\overline{\mathbf{P}}$ とおき、それぞれ成分表示して

$$\mathbf{P} = p_1 \mathbf{e}_1 + p_2 \mathbf{e}_2 + p_3 \mathbf{e}_3, \quad \overline{\mathbf{P}} = \overline{p}_1 \mathbf{e}_1 + \overline{p}_2 \mathbf{e}_2 + \overline{p}_3 \mathbf{e}_3 \quad \dots \quad (43.a,b)$$

とおくと、外力による仮想仕事は

$$EVW = \int_V (p_i \delta U^i) dV + \left[\int_A (\overline{p}_i \delta U^i) dA \right] \xi^i = \xi_{**}^i \\ \xi^i = \xi_*^i \quad \dots \quad (44)$$

と表わされ、ここに

$$dA = d\xi^2 d\xi^3 \quad \dots \quad (45)$$

であり、 ξ_*^i 、 ξ_{**}^i は部材両端における ξ^i の座標値を示す。

6. 微小ひずみを仮定した有限変位理論

これまで扱ってきた充実空間曲線棒部材の理論は、仮定(1)～(3)のみに基づいており、いわゆる微小ひずみの仮定は用いられていない。既往の研究の大部分においては、当初から微小ひずみの仮定を導入する場合が多いが、本報告では、4章に示したように、変位関数および変位後のねじれ率を、何の近似を行なうことなく無理数による表現式を得ている。また、5章においては応力テンソルの物理成分による仮想仕事を求めており、ここでも近似化は行なわれていない。しかしながら、式(42)からわかるように、部材軸の伸びひずみ ε_0 、変形に起因する曲率変化量 κ_2^* 、 κ_3^* が ρ^2 の係数として、座標値 ξ^2 、 ξ^3 と共に関与している。よって、このままの形で断面力を定義することは困難であることから、この章では以下の仮定を追加して、微小ひずみの仮定に基づく有限変位理論を展開する。

本章で追加する微小ひずみの仮定を具体的に示すと次のようになる。

$$\varepsilon_0, \xi^2 \times \kappa_3^*, \xi^3 \times \kappa_2^* \ll \sqrt{g} \quad \dots \quad (46)$$

内力による仮想仕事は式(46)を適用することにより

$$IVW = \int_V \left[\frac{\widehat{\sigma}^{11}}{\sqrt{g}} \left\{ \delta \varepsilon_0 - \xi^2 \delta \kappa_3^* + \xi^3 \delta \kappa_2^* + \frac{\rho^2}{\sqrt{g}} \kappa_1^* \delta \kappa_1^* \right\} + \frac{(-\widehat{\sigma}^{12} \xi^3 + \widehat{\sigma}^{13} \xi^2) \delta \kappa_1^*}{\sqrt{g}} \right] dV \quad (47)$$

となる。仮想仕事の原理を適用すると、IVW=EVW となり、これより平衡方程式と境界条件式が求まる。

まず、平衡方程式を表わすと、

$$(N \overline{\mathbf{e}}_1 - (M_{3,1} + \overline{k}_1 M_2 - \overline{k}_2 T) \overline{\mathbf{e}}_2 + (M_{2,1} - \overline{k}_1 M_3 + \overline{k}_3 T) \overline{\mathbf{e}}_3 \\ + \{T_{\eta}^* + g_1 (M_{\eta}^* + T^* + T_{\xi}^*)\} (\mathbf{e}_1 - u^1 \mathbf{i}_1 \overline{\mathbf{e}}_1) \lambda^2 / 4 \\ - \{M_{\eta}^* - g_2 (M_{\eta}^* + T^* + T_{\xi}^*)\} \lambda / 2 \} (\mathbf{e}_2 - u^2 \mathbf{i}_1 \overline{\mathbf{e}}_1) \\ + \{M_{\eta}^* + g_3 (M_{\eta}^* + T^* - T_{\xi}^*)\} \lambda / 2 \} (\mathbf{e}_3 - u^3 \mathbf{i}_1 \overline{\mathbf{e}}_1))_{,1} + Q^* = 0 \quad \dots \quad (48.a)$$

$$T_{,1} + \overline{k}_2 M_3 - \overline{k}_3 M_2 + M_{\eta}^* + T^* + T_{\xi}^* = 0 \quad \dots \quad (48.b)$$

となり、ここに断面力等について

$$N = \int \widehat{\sigma}^{11} dA, \quad M_2 = \int \widehat{\sigma}^{11} \xi^3 dA, \quad M_3 = - \int \widehat{\sigma}^{11} \xi^2 dA, \quad M_t = \int (-\widehat{\sigma}^{12} \xi^3 + \widehat{\sigma}^{13} \xi^2) dA, \\ M_{\rho} = \int \widehat{\sigma}^{11} \rho^2 dA, \quad T = M_t + M_{\rho} \kappa_1^*, \\ g_1 = u^1 \mathbf{i}_1 (u^2 \mathbf{i}_1 \cos \vartheta + u^3 \mathbf{i}_1 \sin \vartheta) (u^3 \mathbf{i}_1 \cos \vartheta - u^2 \mathbf{i}_1 \sin \vartheta), \\ g_2 = u^3 \mathbf{i}_1 + \lambda / 2 (u^2 \mathbf{i}_1)^2 u^3 \mathbf{i}_1 \cos 2\vartheta - \lambda / 4 u^2 \mathbf{i}_1 \{(u^2 \mathbf{i}_1)^2 - (u^3 \mathbf{i}_1)^2\} \sin 2\vartheta, \\ g_3 = -u^2 \mathbf{i}_1 + \lambda / 2 (u^3 \mathbf{i}_1)^2 u^2 \mathbf{i}_1 \cos 2\vartheta + \lambda / 4 u^3 \mathbf{i}_1 \{(u^3 \mathbf{i}_1)^2 - (u^2 \mathbf{i}_1)^2\} \sin 2\vartheta \quad \dots \quad (49.a-i)$$

であり、外力項については

$$N^* = \int p_1 \sqrt{g} dA, \quad M_2^* = \int p_1 \xi^3 \sqrt{g} dA, \quad M_3^* = - \int p_1 \xi^2 \sqrt{g} dA, \quad Q_z^* = \int p_2 \sqrt{g} dA,$$

$$\begin{aligned}
Q_3^* &= \int p_3 \sqrt{g} dA, \quad T_{22}^* = -\int p_2 \xi^2 \sqrt{g} dA, \quad T_{23}^* = -\int p_2 \xi^3 \sqrt{g} dA, \quad T_{32}^* = \int p_3 \xi^2 \sqrt{g} dA, \\
T_{33}^* &= -\int p_3 \xi^3 \sqrt{g} dA, \quad T_{xx}^* = T_{22}^* \sin \vartheta + T_{23}^* \cos \vartheta, \quad T_{xy}^* = T_{22}^* \cos \vartheta - T_{23}^* \sin \vartheta, \\
T_{yz}^* &= T_{33}^* \cos \vartheta - T_{32}^* \sin \vartheta, \quad T_{yy}^* = T_{32}^* \cos \vartheta + T_{33}^* \sin \vartheta, \quad Q = N^* e_1 + Q_2^* e_2 + Q_3^* e_3, \\
T^* &= T_{xx}^* (1 - (u^2)_{||}^2 \lambda / 2) + T_{yy}^* (1 - (u^3)_{||}^2 \lambda / 2), \quad M_x^* = M_2 \cos \vartheta - M_3 \sin \vartheta, \\
M_y^* &= M_2 \sin \vartheta + M_3 \cos \vartheta, \quad M_\eta^* = M_x^* u^2_{||} + M_y^* u^3_{||}, \quad M_\phi^* = M_x^* - T_{xx} u^2_{||} \lambda / 2 \\
&- \lambda (u^3)_{||} T_{yx}^* - u^2_{||} T_{yy}^* / 2, \quad M_\psi^* = M_y^* - T_{yy} u^3_{||} \lambda / 2 + \lambda (u^2)_{||} T_{xy}^* + u^3_{||} T_{xx}^* / 2, \\
T_\xi^* &= u^2_{||} u^3_{||} (T_{xy}^* - T_{yx}^*) \lambda / 2, \quad T_\eta^* = (u^2)_{||}^2 T_{xy}^* + (u^3)_{||}^2 T_{yx}^* + u^2_{||} u^3_{||} (T_{xx}^* - T_{yy}^*)
\end{aligned} \quad (50.a-v)$$

である。次に、部材端における境界条件式は

$$\begin{aligned}
N \bar{e}_1 &= (M_{3,1} + \bar{k}_1 M_{2,1} - \bar{k}_2 T) \bar{e}_2 + (M_{2,1} - \bar{k}_1 M_3 + \bar{k}_3 T) \bar{e}_3 \\
&= \bar{Q}^* \{ T_\eta^* + g_1 (M_\eta^* + T^* + T_\xi^*) \} (e_1 - u^2_{||} \bar{e}_1) \lambda / 4 \\
&+ \{ M_\phi^* - g_2 (M_\eta^* + T^* + T_\xi^*) \lambda / 2 \} (e_2 - u^2_{||} \bar{e}_1) \\
&- \{ M_\psi^* + g_3 (M_\eta^* + T^* + T_\xi^*) \lambda / 2 \} (e_3 - u^2_{||} \bar{e}_1) \quad \text{o r} \quad u = \bar{u} \quad (51.a) \\
c_1 M_3 - c_2 M_2 + c_3 T &= \bar{M}_\psi^* + \lambda^2 \bar{T}_\eta^* u^2_{||} / (4 u^1_{||}) \quad \text{o r} \quad u^2_{||} = \bar{u}^2_{||} \quad (51.b) \\
d_2 M_2 - d_1 M_3 - d_3 T &= \bar{M}_\phi^* - \lambda^2 \bar{T}_\eta^* u^3_{||} / (4 u^1_{||}) \quad \text{o r} \quad u^3_{||} = \bar{u}^3_{||} \quad (51.c) \\
T = \bar{T}^* + \bar{T}_\xi^* + \bar{M}_\eta^* &\quad \text{o r} \quad \vartheta = \bar{\vartheta} \quad (51.d)
\end{aligned}$$

となる。ここに、 \bar{u} , ϑ , $\bar{u}^2_{||}$, $\bar{u}^3_{||}$ は部材端において規定される量であり、外力項は、

$$\begin{aligned}
\bar{N}^* &= \int \bar{p}_1 dA, \quad \bar{M}_2 = \int \bar{p}_2 \xi^3 dA, \quad \bar{M}_3 = -\int \bar{p}_3 \xi^2 dA, \quad \bar{Q}_3^* = \int \bar{p}_3 dA, \\
\bar{T}_{22}^* &= -\int \bar{p}_2 \xi^2 dA, \quad \bar{T}_{23}^* = -\int \bar{p}_2 \xi^3 dA, \quad \bar{T}_{32}^* = \int \bar{p}_3 \xi^2 dA, \quad \bar{T}_{33}^* = -\int \bar{p}_3 \xi^3 dA, \\
\bar{T}_{xx}^* &= \bar{T}_{22}^* \sin \vartheta + \bar{T}_{23}^* \cos \vartheta, \quad \bar{T}_{xy}^* = \bar{T}_{22}^* \cos \vartheta - \bar{T}_{23}^* \sin \vartheta, \quad \bar{T}_{yx}^* = \bar{T}_{33}^* \cos \vartheta - \bar{T}_{32}^* \sin \vartheta, \\
\bar{T}_{yy}^* &= \bar{T}_{32}^* \cos \vartheta + \bar{T}_{33}^* \sin \vartheta, \quad \bar{Q} = \bar{N}^* e_1 + \bar{Q}_2^* e_2 + \bar{Q}_3^* e_3, \\
\bar{T}^* &= \bar{T}_{xx}^* (1 - (u^2)_{||}^2 \lambda / 2) + \bar{T}_{yy}^* (1 - (u^3)_{||}^2 \lambda / 2), \quad \bar{M}_x^* = \bar{M}_2 \cos \vartheta - \bar{M}_3 \sin \vartheta, \\
\bar{M}_y^* &= \bar{M}_2 \sin \vartheta + \bar{M}_3 \cos \vartheta, \quad \bar{M}_\eta^* = \bar{M}_x^* u^2_{||} + \bar{M}_y^* u^3_{||}, \quad \bar{M}_\phi^* = \bar{M}_x^* - \bar{T}_{xx} u^2_{||} \lambda / 2 \\
&- \lambda (u^3)_{||} \bar{T}_{yx}^* - u^2_{||} \bar{T}_{yy}^* / 2, \quad \bar{M}_\psi^* = \bar{M}_y^* - \bar{T}_{yy} u^3_{||} \lambda / 2 + \lambda (u^2)_{||} \bar{T}_{xy}^* + u^3_{||} \bar{T}_{xx}^* / 2, \\
\bar{T}_\xi^* &= u^2_{||} u^3_{||} (\bar{T}_{xy}^* - \bar{T}_{yx}^*) \lambda / 2, \quad \bar{T}_\eta^* = (u^2)_{||}^2 \bar{T}_{xy}^* + (u^3)_{||}^2 \bar{T}_{yx}^* + u^2_{||} u^3_{||} (\bar{T}_{xx}^* - \bar{T}_{yy}^*)
\end{aligned} \quad (52.a-v)$$

と表わされる。さらに、

$$\begin{aligned}
c_1 &= \{1 - (u^2)_{||}^2 \lambda / 2\} \cos \vartheta - \lambda / 2 u^2_{||} u^3_{||} \sin \vartheta + (u^2)_{||} \cos \vartheta + u^3_{||} \sin \vartheta) u^2_{||} / u^1_{||} \\
c_2 &= \{-1 + (u^2)_{||}^2 \lambda / 2\} \sin \vartheta - \lambda / 2 u^2_{||} u^3_{||} \cos \vartheta - (u^2)_{||} \sin \vartheta - u^3_{||} \cos \vartheta) u^2_{||} / u^1_{||} \\
c_3 &= -\cos \vartheta (u^2)_{||} \sin \vartheta - u^3_{||} \cos \vartheta) - (\lambda (u^2)_{||} \cos \vartheta + 1 / 2 u^3_{||} \sin \vartheta) \\
&+ 1 / 4 \lambda^2 (u^2)_{||} \cos \vartheta + u^3_{||} \sin \vartheta) (u^2)_{||}^2 / u^1_{||} \times \{(-1 + \lambda (u^2)_{||}^2 / 2) \sin \vartheta \\
&- \lambda / 2 u^2_{||} u^3_{||} \cos \vartheta) - (\lambda / 2 u^3_{||} \cos \vartheta + \lambda^2 / 4 (u^2)_{||} \cos \vartheta + u^3_{||} \sin \vartheta) u^2_{||} u^3_{||} / u^1_{||} \\
&\times \{(1 - \lambda / 2 (u^3)_{||}^2) \cos \vartheta + \lambda / 2 u^2_{||} u^3_{||} \sin \vartheta\}, \\
d_1 &= \{1 - (u^3)_{||}^2 \lambda / 2\} \sin \vartheta - \lambda / 2 u^2_{||} u^3_{||} \cos \vartheta + (u^2)_{||} \cos \vartheta + u^3_{||} \sin \vartheta) u^3_{||} / u^1_{||} \\
d_2 &= \{1 - (u^3)_{||}^2 \lambda / 2\} \cos \vartheta + \lambda / 2 u^2_{||} u^3_{||} \sin \vartheta - (u^2)_{||} \sin \vartheta - u^3_{||} \cos \vartheta) u^3_{||} / u^1_{||} \\
d_3 &= -\sin \vartheta (u^2)_{||} \sin \vartheta - u^3_{||} \cos \vartheta) - (\lambda (u^3)_{||} \sin \vartheta + 1 / 2 u^2_{||} \cos \vartheta) \\
&+ 1 / 4 \lambda^2 (u^2)_{||} \cos \vartheta + u^3_{||} \sin \vartheta) (u^3)_{||}^2 / u^1_{||} \times \{(1 - \lambda (u^3)_{||}^2 / 2) \cos \vartheta \\
&+ \lambda / 2 u^2_{||} u^3_{||} \sin \vartheta) - (\lambda / 2 u^3_{||} \sin \vartheta + \lambda^2 / 4 (u^2)_{||} \cos \vartheta + u^3_{||} \sin \vartheta) u^2_{||} u^3_{||} / u^1_{||} \\
&\times \{(-1 + \lambda / 2 (u^2)_{||}^2) \sin \vartheta - \lambda / 2 u^2_{||} u^3_{||} \cos \vartheta\} \quad (53.a-f)
\end{aligned}$$

である。

本章では、微小ひずみの仮定を用いていることから、構成方程式については通常の権理論で用いられる Hooke の法則を適用するものとすれば、応力とひずみの関係は

$$\hat{\sigma}^{11} = E \hat{\varepsilon}_{11}, \quad \hat{\sigma}^{12} = 2G \hat{\varepsilon}_{12}, \quad \hat{\sigma}^{13} = 2G \hat{\varepsilon}_{13} \quad \dots \quad (54.a-c)$$

と表わされる。ここに、Eはヤング係数、Gはせん断弾性係数、 $\hat{\varepsilon}_{ij}$ はひずみの物理成分を示す。式(38),

(49), (54)より、断面力と変位の関係は

$$N = E \{ F_1 \varepsilon_0 - F_2 \kappa_3^* + F_3 \kappa_2^* + F_{\rho} (\kappa_1^*)^2 / 2 \} \quad \dots \quad (55.a)$$

$$M_2 = E \{ F_3 \varepsilon_0 - I_{23} \kappa_3^* + I_{33} \kappa_2^* + F_{\rho 2} (\kappa_1^*)^2 / 2 \} \quad \dots \quad (55.b)$$

$$M_3 = E \{ -F_2 \varepsilon_0 + I_{22} \kappa_3^* - I_{23} \kappa_2^* + F_{\rho 2} (\kappa_1^*)^2 / 2 \} \quad \dots \quad (55.c)$$

$$M_{\rho} = E \{ F_{\rho} \varepsilon_0 - F_{\rho 2} \kappa_3^* + F_{\rho 3} \kappa_2^* + F_{\rho \rho} (\kappa_1^*)^2 / 2 \} \quad \dots \quad (55.d)$$

$$M_t = G J \kappa_1^* \quad \dots \quad (55.e)$$

と求まり、ここに断面定数は以下のように表わされる。

$$F_1 = \int 1 / \sqrt{g} dA, \quad F_2 = \int \xi^2 / \sqrt{g} dA, \quad F_3 = \int \xi^3 / \sqrt{g} dA, \quad F_{\rho} = \int \rho^2 / g dA,$$

$$F_{\rho 2} = \int \rho^2 \xi^2 / g dA, \quad F_{\rho 3} = \int \rho^2 \xi^3 / g dA, \quad F_{\rho \rho} = \int \rho^4 / (g \sqrt{g}) dA,$$

$$I_{22} = \int (\xi^2)^2 / \sqrt{g} dA, \quad I_{23} = \int \xi^2 \xi^3 / \sqrt{g} dA, \quad I_{33} = \int (\xi^3)^2 / \sqrt{g} dA,$$

$$J = \int \rho^2 / \sqrt{g} dA \quad \dots \quad (56.a-k)$$

7. 考察

本報告により得られた結果の妥当性を検討するために、ここでは物体力が存在しない場合について、つり合い法により断面力表示の平衡方程式を導き、微小ひずみの範囲内で両者の結果が一致することを確かめる。部材軸に作用する断面力を

$$N = N \bar{e}_1 + q_2 \bar{e}_2 + q_3 \bar{e}_3, \quad M = T \bar{e}_1 + M_2 \bar{e}_2 + M_3 \bar{e}_3 \quad \dots \quad (57.a,b)$$

とおく。微小要素のつり合いより、力およびモーメントに関する平衡方程式が以下のように求まる。

$$\frac{dN}{d\xi} = 0, \quad \frac{dM}{d\xi} + \bar{e}_1 \times N = 0 \quad \dots \quad (58.a,b)$$

式(58.b)より、ベクトル \bar{e}_1 が一次独立であることから以下の式を得る。

$$T_{,1} + \bar{k}_2 M_3 - \bar{k}_3 M_2 = 0 \quad \dots \quad (59.a)$$

$$M_{3,1} - \bar{k}_2 T + \bar{k}_1 M_2 + q_2 = 0 \quad \dots \quad (59.b)$$

$$M_{2,1} + \bar{k}_3 T - \bar{k}_1 M_3 - q_3 = 0 \quad \dots \quad (59.c)$$

ここに、式(59)はそれぞれ \bar{e}_i 軸回りのつり合いを示している。式(58.a), (59.b,c)より、力のつり合い方程式として

$$N \bar{e}_1 - (M_{3,1} + \bar{k}_1 M_2 - \bar{k}_2 T) \bar{e}_2 + (M_{2,1} - \bar{k}_1 M_3 + \bar{k}_3 T) \bar{e}_3 = 0 \quad \dots \quad (60)$$

が得られる。式(48)において外力項を零とおくと、これらの平衡方程式は式(59.a), (60)の平衡方程式と一致する。このことは仮想仕事の原理より得られる平衡方程式と、つり合い法により得られる平衡方程式が、微小ひずみの仮定の下で一致することを示している。

次に、有限回転ベクトル ω を用いて変位関数を導き、これが文献(5)において用いられている回転行列による結果と一致することを示す。式(7)より ω と θ との関係が

$$\omega / \omega = (1 + \cos \omega) \theta / (2 \sin \omega) \quad \dots \quad (61)$$

と求まる。ここで、文献(5)と同様に ω を次のように成分表示する。

$$\omega = \omega^i e_i \quad \dots \quad (62)$$

式(10), (61)より、 θ と ω との間には

$$\theta^i = 2 \omega^i \sin \omega / (\omega (1 + \cos \omega)) \quad \dots \quad (63)$$

が成り立つ。式(63)を式(15)に代入し、式(12)の関係式を用いると、 ω^i で表わされた変位関数 U^i を以下のように得る。

$$\begin{aligned}
 U^1 &= u^1 + \xi^2 \left\{ \omega^1 \omega^2 (1 - \cos \omega) / (\omega)^2 - \omega^3 / \omega \sin \omega \right\} \\
 &\quad + \xi^3 \left\{ \omega^1 \omega^3 (1 - \cos \omega) / (\omega)^2 + \omega^2 / \omega \sin \omega \right\} \\
 U^2 &= u^2 + \xi^2 \left\{ (\omega^2)^2 / (\omega)^2 - 1 \right\} + \xi^3 \left\{ \omega^3 \omega^2 (1 - \cos \omega) / (\omega)^2 - \omega^1 / \omega \sin \omega \right\} \\
 U^3 &= u^3 + \xi^2 \left\{ \omega^2 \omega^3 (1 - \cos \omega) / (\omega)^2 + \omega^1 / \omega \sin \omega \right\} + \xi^3 \left\{ (1 - \cos \omega) / (\omega^3)^2 / (\omega)^2 - 1 \right\} \\
 &\quad \dots \quad (64.a-c)
 \end{aligned}$$

式 (64) は文献 (5) の変位関数と一致する。

文献(10), (11) ではベクトルを用い, 一方, 文献(18)においては回転行列を用いて有限回軸を評価しているが, いずれの研究においても棒部材の回転を, 部材軸回りの回転と, 主軸回りの回転とに分け, それを重ね合わせることにより変位関数を誘導している。しかしながら, 本研究ではそのような重ね合わせをすることなく, 新しい手法により棒部材の変位関数を求めている点に特徴がある。

8. おわりに

本報告では, 有限回転ベクトルを用いることにより, 従来あまり厳密に扱われていなかった棒部材の回転成分の連成に注目して, 有限変位理論を展開した。これまでにも棒部材の変位パラメータのとり方については議論されているが, 本報告では従来の棒理論に近い形で議論を進めてきた。すなわち, 部材軸の変位成分の他に, 橫断面の回転に相当する回転成分を 4 番目のパラメーターにとり, 有限変位問題を扱った。以後, Bernoulli-Euler の仮定それ自体を検討する必要があると思われるが, ここでは先の仮定のみを用いて, 厳密な変位関数および変位後のねじれ率と曲率を計算している。このこと自体は工学的にそれ程重要な意味を持たないかもしれないが, ここで用いられた有限回転ベクトル θ および新たに導入された回転パラメーターの有効性が認められるものと思われる。

謝辞 : 本研究は文部省科学研究費の補助を受けて行なわれた。ここに記して感謝する。

参 考 文 献

- 1) 西野文雄・深沢泰晴: ひずみ場の仮定に基づく薄肉曲がりばかりの静的挙動の定式化, 土木学会論文報告集, No. 247, pp.9-19, 1973.3
- 2) 西野文雄・倉方慶夫・長谷川彰夫・奥村敏恵: 軸力と曲げおよびねじりを受ける薄肉断面部材, 土木学会論文報告集, No. 225, pp.1-15, 1974.5.
- 3) 渡辺昇・稼農知徳・薄木征三: 薄肉曲線桁の変位場に基づく有限ねじれ変形解析, 土木学会論文報告集 No. 317, pp.31-45, 1982.1
- 4) Usami,T. and S.Y.Koh : Large Displacement Theory of Thin-Walled Curved Members and its Application to Lateral-Torsional Buckling Analysis of Circular Arches, Int. J. Solids and Structures, Vol.16, pp.71-95, 1980.
- 5) 前田幸雄・林 正: 立体骨組構造物の有限変位解析, 土木学会論文報告集, No.253, pp.13-27, 1976.9
- 6) 倉方慶夫・西野文雄: 充実曲線棒材の有限変位場と応力場, 土木学会論文報告集, No. 317, pp.15-30, 1982.1.
- 7) 西野文雄・倉方慶夫・後藤芳顯: 一軸曲げと軸力を受ける棒の有限変位理論, 土木学会論文報告集, No. 237, pp.11-26, 1975.5.
- 8) Besseling, J.F.: Non-Linear Theory for Elastic Beams and its Finite Element Representation , Comput. Maths. Appl. Mech. Engrg. 31 (1982) 205-220.

- 9) Rosen,A.and P.Friedmann:The Nonlinear Behavior of Elastic Slender Straight Beams Undergoing Small Strains and Moderate Rotations, ASME J. of Appl. Mech., Vol.46, pp.161-168, 1979.3.
- 10) Schroeder,F.H.: Allgemeine Stabtheorie des dünnwandigen räumlich vorgekrümmten und vorgewundenen Träger mit grossen Verformungen, Ingenieur-Archiv, 39. Band, S.87-103, 1970.
- 11) 平嶋政治・井浦雅司・依田照彦：初期曲率・ねじれ率を有する薄肉空間曲線部材の有限変位理論，土木学会論文報告集，No. 292, pp.13-27, 1979. 12.
- 12) 事口寿男・久保元生・中井 博：薄肉曲線ばかりの幾何学的非線形挙動と横倒れ座屈解析への応用，第24回構造工学シンポジウム，構造の非線形問題，pp.69-76, 1978.2.
- 13) 島田静雄：弾性針金の変形と応用，土木学会論文報告集，No. 72, 別冊3-1, pp.1-16, 1961.7.
- 14) Panayotounakos,D.E.and P.S.Theocaris:Large Elastic Deformation in Thin Rods, Ingenieur-Archiv 51.Band, S.139-149, 1981.
- 15) 倉方慶夫：薄肉開断面をもつ曲線部材の有限変位理論，東京大学工学系研究科博士論文，1976.3.
- 16) 阿井正博・西野文雄：薄肉はり要素の有限変位微小ひずみ問題としての一定式化，土木学会論文報告集 No. 318, pp.7-20, 1982.2.
- 17) 後藤芳顯・松浦聖・長谷川彰夫：充実断面空間棒材の有限変位理論の一定式化，構造工学論文集，Vol. A, pp. 183-196, 1985.3.
- 18) 林正・前田幸雄：薄肉断面部材の有限変位場，土木学会第40回年次学術講演会概要集，第1部，PP.113-114, 1985.9.
- 19) Stein, E.: Incremental Methods in Finite Elastisity, especially for rods. Proc. of the IUTAM Symp. on Finite Elastisicity, Bethlehem(USA) 1980, pp.379-400.
- 20) Simmonds,J.G.and D.A.Danielson:Nonlinear Shell Theory with Finite Rotation and Stress-Function Vectors, ASME J. of Appl. Mech., Vol.39, pp.1085-1090, 1972.12.
- 21) Pietraszkiewicz,W.:Finite Rotations and Lagrangian Description in the Non-linear Theory of Shells, Polish Scientific Publishers, Warszawa, 1979.
- 22) Iura,M. and M.Hirashima: Lagrangian Nonlinear Theory of Thin Elastic Shells with Finite Rotations. Proc. of JSCE, No.344/1-1, Structural Eng./Earthquake Eng., pp.153-163, 1984.4.
- 23) Pietraszkiewicz,W.and J.Badur:Finite Rotations in the Description of Continuum Deformation, Int. J. Engng. Sci., Vol.21, No. 9, pp.1097-1115, 1983.
- 24) Washizu,K.:Variational Methods in Elasticity and Plasticity,Pergamon Press,3rd.edition,1982.

(1985年 10月 18日 受付)